

Еквівалентність рівнянь /7/ інтегральним включенням визначається теоремою.

Теорема. Розв'язки системи граничних інтегральних рівнянь /7/ та інтегральних включень, до яких вводиться задача /1/-/2/, еквівалентні, тобто: якщо (V, q^*, m^*, p_i^*, h) - розв'язок рівняння /7/, то функції q^*, m^* , числа p_i^* , $i=1, 2, \dots, k$, вектор h , функція $p = V^+ i$ область $S = \{M: v(M) \geq 0\}$ є розв'язком системи інтегральних включень; якщо $(p, q^*, m^*, p_i^*, S, h)$ розв'язок системи інтегральних включень, то функції

$$v = \mu^{-1} \left(g - \lambda K p + \lambda_1 (T_1 g^* - T_2 m^* + \sum_i \lambda p_i^*) \right) + p$$

q^*, m^* , числа p_i^* , $i=1, 2, \dots, k$ та вектор h є розв'язком рівнянь /7/.

I. Кулаков В.М., Толкачев В.М. Иггиб пластин произвольного очертания // Докл. АН СССР. 1976. Т.230. № 1. С.56-59. 2. Работнов Ю.В. Механика деформируемого твердого тела. М., 1979. 3. Толкачев В.М. Метод компенсирующих нагрузок в теории изгиба пластин // Изв. АН СССР. Механика твердого тела. 1986. № 3. С.155-160.

Стаття надійшла до редколегії 10.04.93

УДК 539.3

І.С.Будз, Я.Г.Савула

ЧИСЕЛЬНЕ РОЗВ'ЯЗУВАННЯ ЗАДАЧ
ПРО ВІЛНІ КОЛІВАННЯ ТОНКИХ ОБОЛОНОК
З УРАХУВАННЯМ ПОЧАТКОВОГО НАВАНТАЖЕННЯ

I. Постановка задачі. Розглядаємо тонку оболонку як тривимірне тіло Z :

$$Z = \{(\alpha_1, \alpha_2, \alpha_3) : (\alpha_1, \alpha_2) \in \omega, -h \leq \alpha_3 \leq h\},$$

яке в недеформованому стані належить до криволінійної ортогональної системи координат α_i ($i=1, 2, 3$), де α_3 - лінія, перпендикулярна до серединної поверхні Ω оболонки, що є образом ω .

Нехай напружено-деформований стан оболонки складається з "головного", що є рівноважним і характеризується малими деформаціями та скінченними переміщеннями, а також з "додаткового", якому

© Будз І.С., Савула Я.Г., 1993

відповідають малі переміщення і деформації, що виникають в процесі відхилень оболонки від положення рівноваги.

Відповідно до зробленого припущення, подаємо вектор переміщень у вигляді суми

$$u = u^0 + \tilde{u}, \quad /1.1/$$

де індекс "0" - тут і надалі позначає "головний" стан, а "˜" - "додатковий".

Підставляємо вираз /1.1/ для вектора переміщень у співвідношенні геометрично нелінійної теорії оболонок [3].

Нехтуючи квадратами величин "додаткового" стану як такими, що мають вищий порядок мализни порівняно з іншими величинами, записуємо повну лінеаризовану систему рівнянь динаміки попередньо навантаженої оболонки [2]:

$$\begin{aligned} C_\sigma(\tilde{\mathcal{G}}^*)^0 + \tilde{p} &= 0, & (\alpha_1, \alpha_2) \in \omega, \\ G_1(\tilde{\mathcal{G}}^*)^0 &= \tilde{G}_r, & (\alpha_1, \alpha_2) \in \Gamma_\sigma, \\ G_2(\tilde{u}) &= \tilde{u}_r, & (\alpha_1, \alpha_2) \in \Gamma_u, \end{aligned} \quad /1.2/$$

межа області $\omega - \Gamma = \Gamma_\sigma \cup \Gamma_u$.

$$\begin{aligned} \tilde{u}(\alpha_1, \alpha_2, 0) &= u_0(\alpha_1, \alpha_2), \\ \frac{\partial}{\partial t} \tilde{u}(\alpha_1, \alpha_2, 0) &= \dot{u}_0(\alpha_1, \alpha_2). \end{aligned} \quad /1.3/$$

Тут

$$(\tilde{\mathcal{G}}^*)^0 = \tilde{F}B[C_1u^0 + \frac{1}{2}(C_\omega u^0)^T E_\omega C_\omega u^0] + F^0B[C_1\tilde{u} + (C_\omega u^0)^T E_\omega C_\omega \tilde{u}];$$

C_σ, C_1, C_ω - матриці диференціальних операторів; $F^0, \tilde{F}, B, E_\omega$ - матриці констант; G_1, G_2 - матриці непрямих кошикусів /вигляд цих матриць наведений у праці [3]/; \tilde{p} - вектор-стовпець зовнішнього навантаження та інерційних доданків "додаткового" стану; \tilde{G}_r, \tilde{u}_r - вектори-стовпці відповідно граничних зусиль-моментів і переміщень.

2. Варіаційна постановка задачі. Розглянемо задачу про вільні коливання тонких оболонок. Зазначимо, що в даному випадку маємо однорідні граничні умови ($\tilde{G}_r = \tilde{u}_r = 0$), зовнішнє поверхневе навантаження відсутнє.

Подаємо вектор переміщень у вигляді

$$u(\alpha_1, \alpha_2, t) = \tilde{u}(\alpha_1, \alpha_2)e^{i\lambda t}, \text{ де } (\alpha_1, \alpha_2) \in \omega, t - \text{час.} /2.1/$$

Враховуючи зображення /2.1/, запишуємо варіаційну постановку /2/ для задачі про вільні коливання попередньо навантаженої оболонки:

$$\int_{\Omega} [C_t V + (C_{\omega} u^0)_8^T E_{\omega} C_{\omega} V]^T E_0 B [C_t \bar{u} + (C_{\omega} u^0)_8^T E_{\omega} C_{\omega} \bar{u}] d\Omega + \\ + \int_{\Omega} (C_{\omega} V)^T E_{\omega}^T G_B^0 C_{\omega} \bar{u} d\Omega - \lambda^2 \int_{\Omega} V^T m \bar{u} d\Omega = 0. \quad /2.2/$$

Тут G_B^0 - матриця початкових зусиль-моментів /2/; V - діагональна матриця розмірності 5×5 , ненульовими елементами якої є функції V_i ($i = \overline{1, 5}$), що задовільняють умови

$$V_i \in [W_2^1(\Omega)]^5, \quad G_2 V_i = 0, \quad i = \overline{1, 5}.$$

3. Схема побудови чисельного розв'язку. Розглядаємо задачу про вільні коливання осесиметричних оболонкових конструкцій. У цьому випадку використовуємо циліндричну систему координат $(\alpha_1, \alpha_2, \alpha_3)$, ав'язок якої в декартовою визначається співвідношеннями:

$$x = \alpha_1 \cos \alpha_2, \quad y = \alpha_1 \sin \alpha_2, \quad z = \alpha_3, \quad 0 \leq \alpha_1 \leq d_1, \quad 0 \leq \alpha_2 \leq 2\pi.$$

Для апроксимації розв'язку використовуємо квадратичні апроксимації за координатою α_1 і зображення сумою по повній системі тригонометричних функцій за координатою α_2 .

Відповідно до цього записуємо вектор переміщень \bar{u} :

$$\bar{u} = \sum_{m=0}^M \Phi_m(\alpha_2) \hat{u}(\alpha_1), \quad /3.1/$$

де $\hat{u}(\alpha_1) = N(\alpha_1) q$; q - вектор-стовпець вузлових значень вектора-функції $\hat{u}(\alpha_1)$; $\Phi_m(\alpha_2)$ - діагональна матриця розмірності 5×5 , ненульові елементи якої є такими:

$$\psi_m^{11} = \psi_m^{33} = \psi_m^{44} = \cos m\alpha_2, \quad \psi_m^{22} = \psi_m^{66} = \sin m\alpha_2; \quad /3.2/$$

$N(\alpha_1)$ - блоково-діагональна матриця координатних функцій /5/.

Матриця V має вигляд

$$V = \sum_{m=0}^M \Phi_m(\alpha_2) N(\alpha_1). \quad /3.3/$$

Підставляючи у варіаційне рівняння /2.2/ співвідношення /3.1/-/3.3/, отримуємо

$$\sum_{m=0}^M \left(\int_{\Omega} [C_t \Phi_m N + (C_{\omega} u^0)_8^T E_{\omega} C_{\omega} \Phi_m N]^T E_0 B [C_t \Phi_m N + (C_{\omega} u^0)_8^T E_{\omega} C_{\omega} \Phi_m N] \times \right. \\ \times d\Omega + \left. \int_{\Omega} (C_{\omega} \Phi_m N)^T E_{\omega}^T G_B^0 C_{\omega} \Phi_m N d\Omega - \lambda^2 \int_{\Omega} (\Phi_m N)^T m \Phi_m N d\Omega \right) q = 0, \quad /3.4/$$

де C_t - матриця констант /5/.

Відокремлюючи змінні α_1 і α_2 у рівнянні /3.4/, та виключуючи інтегрування, отримуємо матричну задачу на власні значення. Для розв'язування цієї задачі застосовуємо метод ітерацій у підпросторі /1/.

4. Чисельні приклади. 4.1. Розглядаємо процес вільних коливань круглої пластини радіусом R , яка попередньо рівномірно розтягується /стягається/ з торців зовнішнім зусиллям T_4 , залишаючись у стані статичної рівноваги. У даній задачі приймаємо, що $\alpha_1 = z$, $\alpha_2 = \psi$, $\alpha_3 = z$, $0 \leq z \leq R$, $0 \leq \psi \leq 2\pi$, $-h \leq z \leq h$.

На краю і в центрі пластини задані такі граничні умови:

головні: $u_r = u_\theta = W = 0$, $z = R$, $u_r = u_\theta = 0$, $z = 0$;

природні: $Q_r = 0$, $z = 0$.

Розглядаємо осесиметричні коливання /у розкладі /3.1/ приймаємо, що $m = 0$.

Задачу розв'язуємо при таких параметрах:

$$2h = 0.5 \text{ м}, E = 0.625e + 11 \text{ Н/м}^2, \nu = 0.22, \rho = 0.245e + 04 \text{ кг/м}^3,$$

$$\frac{2h}{R} = \frac{1}{20}.$$

Таблиця I

| N_{el} | T_4 | ω_1 | Γ_4 | $\delta, \%$ | ω_2 | Γ_4 | $\delta, \%$ | ω_3 | Γ_4 | $\delta, \%$ |
|----------|---------|------------|------------|--------------|------------|------------|--------------|------------|------------|--------------|
| 4 | 0 | .12076E+02 | 0.013 | .46560E+02 | 0.524 | .10469E+03 | 3.12 | | | |
| | -10^8 | .65944E+00 | I7 | .38780E+02 | 0.8 | .97082E+02 | 4 | | | |
| 8 | 0 | .12075E+02 | 0.001 | .46335E+02 | 0.038 | .10176E+03 | 0.231 | | | |
| | -10^8 | .57166E+00 | I | .38503E+02 | 0.05 | .94010E+02 | 0.3 | | | |
| 16 | 0 | .12075E+02 | 0 | .46319E+02 | 0.003 | .10155E+03 | 0.017 | | | |
| | -10^8 | .56540E+00 | 0.1 | .38483E+02 | 0.004 | .93778E+02 | 0.02 | | | |
| 32 | 0 | .12075E+02 | 0 | .46317E+02 | 0 | .10153E+03 | 0 | | | |
| | -10^8 | .56500E+00 | 0.02 | .38482E+02 | 0 | .93763E+02 | 0.002 | | | |
| Анал. | 0 | .12075E+02 | - | .46317E+02 | - | .10153E+03 | - | | | |
| | -10^8 | .56486E+00 | - | .38482E+02 | - | .93761E+02 | - | | | |

У табл. I наведені перші три частоти ($\omega_i = \lambda_i / 2\pi$, $i=1,3$), що отримані на різних скінченноелементних сітках при нульовому і близькому до критичного /4/ навантаженнях. Наведені результати порівнюються з аналітичними. Слід зазначити, що вже при 8-елементному розбитті області серединної поверхні в напрямі α , досягається висока точність розв'язку, про що свідчить відносна похибка δ .

Таблиця 2

| $T, \text{Н/м}$ | $\omega_1, \text{Гц}$ | $\Delta, \%$ | $\omega_2, \text{Гц}$ | $\Delta, \%$ | $\omega_3, \text{Гц}$ | $\Delta, \%$ |
|------------------|-----------------------|--------------|-----------------------|--------------|-----------------------|--------------|
| -10 ⁸ | .56540E+00 | 95 | .38483E+02 | 17 | .93778E+02 | 7 |
| -10 ⁷ | .11473E+02 | 5 | .45598E+02 | 1.6 | .10080E+03 | 0.73 |
| -10 ⁶ | .12016E+02 | 0.49 | .46247E+02 | 0.15 | .10147E+03 | 0.079 |
| -10 ⁵ | .12069E+02 | 0.05 | .46312E+02 | 0.015 | .10154E+03 | 0.009 |
| 0 | .12075E+02 | 0 | .46319E+02 | 0 | .10155E+03 | 0 |
| 10 ⁵ | .12081E+02 | 0.05 | .46326E+02 | 0.015 | .10155E+03 | 0 |
| 10 ⁶ | .12133E+02 | 0.48 | .46390E+02 | 0.15 | .10162E+03 | 0.073 |
| 10 ⁷ | .12645E+02 | 5 | .47028E+02 | 1.5 | .10229E+03 | 0.73 |
| 10 ⁸ | .168558E+02 | 40 | .52962E+02 | 14 | .10872E+03 | 7 |

Таблиця 3

| $\frac{2h}{R} : \omega_i, \text{ Гц}$ | Аналітичний | 8 елементів | 4 елементи | k |
|---------------------------------------|-------------|-------------|------------|------------|
| $\frac{1}{20}$ | ω_1 | .12081E+02 | .12081E+02 | .12082E+02 |
| $\frac{1}{20}$ | ω_2 | .46325E+02 | .46342E+02 | .46568E+02 |
| $\frac{1}{20}$ | ω_3 | .10154E+03 | .10177E+03 | .10470E+03 |
| $\frac{1}{100}$ | ω_1 | .25723E+01 | .25723E+01 | .25726E+01 |
| $\frac{1}{100}$ | ω_2 | .96334E+01 | .96370E+01 | .96858E+01 |
| $\frac{1}{100}$ | ω_3 | .21351E+02 | .21403E+02 | .22060E+02 |

Із табл. 2 можна бачити відносний вплив зовнішнього навантаження T , на частоти вільних коливань. Цей вплив характеризується параметром Δ , де

$$\Delta = \frac{|\omega_0^i - \omega_{T_1}^i|}{\omega_0^i} \cdot 100\%, \quad i = \overline{1, 3},$$

ω_0^i - i -та частота навантаженої пластини; $\omega_{T_1}^i$ - i -та частота пластини, навантаженої зусиллям T_1 .

Дані у табл. 3 свідчать про залежність перших трьох частот від товщини пластини. У таблиці наведені значення коефіцієнта збіжності k , який визначається за формуловою /8/

$$k = \frac{\ln |\omega_1^* - \omega_1^{2*}| - \ln |\omega_1^* - \omega_1^*|}{\ln 2t - \ln t}, \quad i = \overline{1, 3},$$

де ω_i - аналітичне значення i -ї частоти; $l = l_i/N$, l_i - довжина пробігу α_i ; N - кількість елементів; ω_i^1 - i -та частота, що отримана при розбитті на N елементів; $\omega_i^{2\ell}$ - i -та частота, що отримана при розбитті на $\frac{N}{2}$ елементів.

Отримані значення коефіцієнта k добре узгоджуються з теоретичними, наведеними у праці [6]. Результати з табл. 3 одержані при $T_f = 10^5 \text{ H/m}$.

4.2. Розглядаємо задачу про вільні коливання циліндра, закритого на одному з торців пластиною. Дано конструкція піддається рівномірному зовнішньому /внутрішньому/ тиску, що характеризується поверхневим аусиллям P_3 . Меридіанний переріз даної конструкції площиною $\psi = \text{const}$ зображеній на рис. I.

Розглядаємо осесиметричні коливання /у розкладі /3.1/ приймаємо, що $M=0$.

У точках A і C задачі такі граничні умови:
головні: $u_j = y_j = 0$, $z = 0$, $u_i = y_i = w = 0$, $z = R_1 + R_2$;
природні: $Q_j = 0$, $z = 0$.

У точці B задані головні умови спряження [7]:

$$T_j u_{(j)} = T_k u_{(k)},$$

де T_j , T_k - матриці спряження j -ї та k -ї складових оболонкової конструкції /вигляд даних матриць наведений у праці [7]/; $u_{(j)}$, $u_{(k)}$ - вектори переміщень у вузлі спряження, записані для j -ї та k -ї складових відповідно.

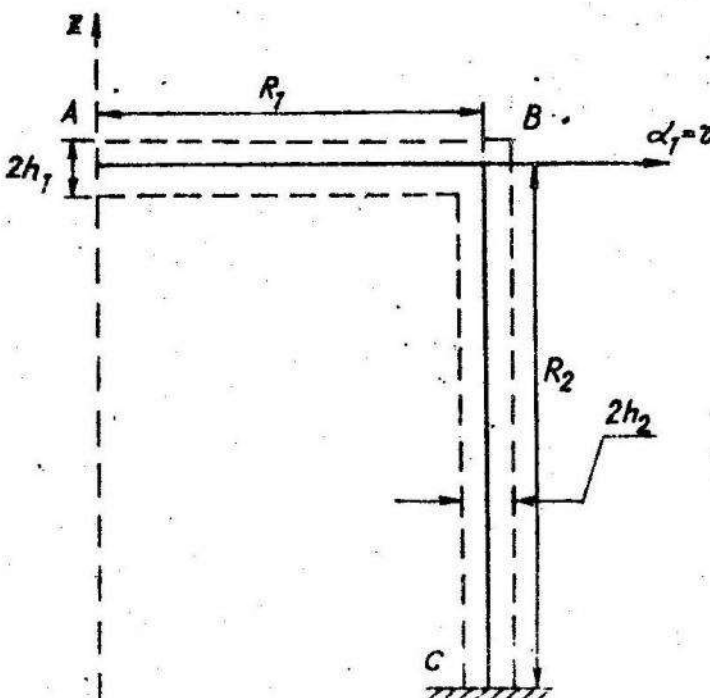


Рис. I.

Задача розв'язана для таких фізико-геометричних характеристик:

$$2h_1 = 2h_2 = 0,5 \text{ м}, E = 0,625e+11 \text{ Н/м}^2, \nu = 0,22, \rho = 0,245e+04 \frac{\text{кг}}{\text{м}^3}, R_1 = R_2 = 10 \text{ м}.$$

Таблиця 4

| $P_3 \cdot 10^6, \frac{\text{Н}}{\text{м}^2}$ | $\omega_1, \text{Гц.}$ | $\Delta, \%$ | $\omega_2, \text{Гц.}$ | $\Delta, \%$ | $\omega_3, \text{Гц.}$ | $\Delta, \%$ |
|---|------------------------|--------------|------------------------|--------------|------------------------|--------------|
| 4.85 | .13975E+01 | 87 | .50731E+02 | 26 | .64436E+02 | 0.01 |
| 4.8 | .38525E+01 | 63 | .50607E+02 | 25 | .64436E+02 | 0.01 |
| 4.7 | .62434E+01 | 40 | .50355E+02 | 24 | .64436E+02 | 0.01 |
| 4.5 | .90019E+01 | 13 | .49837E+02 | 23 | .64436E+02 | 0.01 |
| 4 | .12443E+02 | 20 | .48480E+02 | 20 | .64436E+02 | 0.01 |
| 3 | .14366E+02 | 38 | .45711E+02 | 13 | .64435E+02 | 0.01 |
| 1 | .11907E+02 | 15 | .41444E+02 | 2 | .64431E+02 | 0.005 |
| 0.1 | .10484E+02 | 1 | .40563E+02 | 0.1 | .64428E+02 | 0 |
| 0.01 | .10385E+02 | 0.1 | .40518E+02 | 0.01 | .64428E+02 | 0 |
| 0 | .10375E+02 | 0 | .40513E+02 | 0 | .64428E+02 | 0 |
| -0.01 | .10365E+02 | 0.1 | .40509E+02 | 0.01 | .64428E+02 | 0 |
| -0.1 | .10281E+02 | 1 | .40474E+02 | 0.1 | .64427E+02 | 0.002 |
| -1 | .10205E+02 | 1.6 | .40570E+02 | 0.1 | .64424E+02 | 0.006 |
| -3 | .14151E+02 | 36 | .43905E+02 | 8 | .64415E+02 | 0.02 |
| -4 | .16470E+02 | 59 | .47116E+02 | 16 | .64410E+02 | 0.03 |
| -5 | .17720E+02 | 71 | .51146E+02 | 26 | .64405E+02 | 0.04 |
| -6 | .15993E+02 | 54 | .55360E+02 | 37 | .62736E+02 | 3 |
| -6.5 | .11962E+02 | 15 | .55999E+02 | 38 | .61768E+02 | 5 |
| -6.8 | .56230E+01 | 45 | .54938E+02 | 36 | .61762E+02 | 4 |
| -6.86 | .14957E+01 | 86 | .54624E+02 | 35 | .61994E+02 | 4 |

У табл. 4 наведені результати чисельного аналізу відносно впливу зовнішнього /внутрішнього/ тиску P_3 на перші три частоти коливань. Проаналізувавши отримані результати, можна стверджувати, що однакове за характером початкове зовнішнє навантаження по-різному впливає на різні частоти.

Результати з табл. 4 отримані при розбитті області на 16 скінчених елементів. Як бачимо, характер зміни першої і другої частот відрізняється від характеру зміни третьої частоти.

Це явище можна пояснити тим, що третій частоті відповідають круглі форми коливань, у той час як перша і друга частоти характеризують осесиметричні коливання.

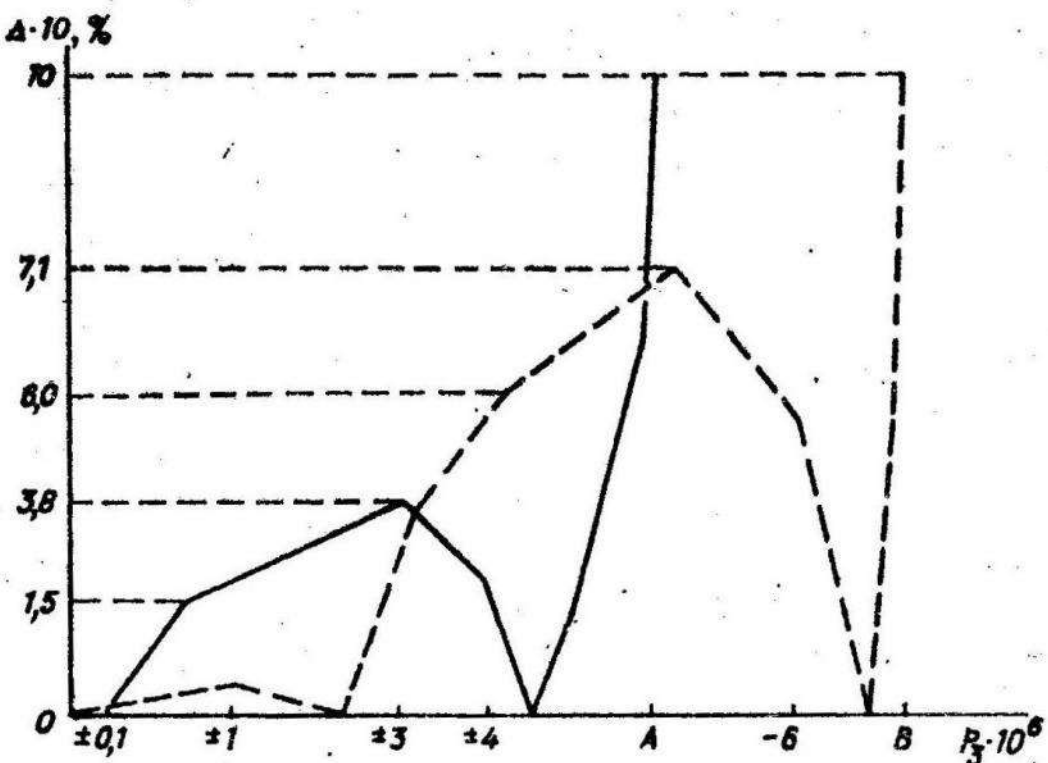


Рис. 2.

На рис. 2 подана залежність відносного впливу зовнішнього навантаження $P_3 - \Delta$ від цього навантаження для першої частоти ω_1 .

За графіком можна умовно розрізняти такі зони навантаження P_3 :

- зона малого впливу /від 0 до 10^5 Н/м^2 для внутрішнього тиску і від 0 до $-2 \cdot 10^6 \text{ Н/м}^2$ для зовнішнього тиску/;
- критична зона, що характеризується різким спадом частоти до нуля. Для внутрішнього тиску це проміжок від $4 \cdot 10^6 \text{ Н/м}^2$ до $4,86 \cdot 10^6 \text{ Н/м}^2$, для зовнішнього - від $-6 \cdot 10^6 \text{ Н/м}^2$ до $-6,87 \cdot 10^6 \text{ Н/м}^2$.

Як бачимо, при певному навантаженні можна досягти частоти, що й у випадку ненавантаженої оболонки /точки, де $\Delta = 0$, крім початку координат/.

Точки А / $4,86 \cdot 10^6 \text{ Н/м}^2$ / та В / $-6,87 \cdot 10^6 \text{ Н/м}^2$ / означають величину внутрішнього та зовнішнього тиску P_3 , відповідно, при якому частота стає близькою до нуля, що призводить до втрати стійкості конструкції за першою формою коливань.

Зважаючи на те, що ділянка малого впливу - це діапазон навантажень в околі нуля, де $\Delta < 10\%$, можемо зробити висно-

зок, що перша з трьох наведених частот є найчутливішою до даного навантаження, оскільки має найменшу зону малого впливу. Третя частота має найбільшу зону, тому є малочутливою до даного навантаження.

1. Б а т з К., В и л с о н Е. Численные методы анализа и метод конечных элементов. М., 1982. 2. Б у д з И.С. Численный анализ динамики оболочек типа Тимошенко с учетом предварительного нагружения. Львов, 1992. 37 с. Рукопись деп. в УкрНИИТИ 22.01.92, № 77-Ук92. 3. В а г і н П.П., М у х а І.С., С а в у л а Я.Г. Розв'язування геометрично нелінійних задач статики оболонок типу Тимошенка методом скінчених елементів // Вісн. Львів.ун-ту. Сер. мех.-мат. 1989. Вип.31. С.67-74. 4. В о л ѿ м и р А.С. Устойчивость деформируемых систем. М., 1967. 5. К о с с а к О.С. Численное решение задач о свободных колебаниях составных осесимметричных тел: Автореф.: дис. ... канд. физ.-мат. наук. Львов, 1991. 6. Р и к а р д с Р.Б. Метод конечных элементов в теории оболочек и пластин. Рига, 1988. 7. С а в у л а Я.Г. Задачи механики деформирования оболочек с резными срединными поверхностями: Автореф. дис. ... д-ра физ.-мат. наук. Львов, 1984. 8. С а в у л а Я.Г., Ш и н к а р е н к о Г.А., В о в к В.Н. Некоторые приложения метода конечных элементов: Учеб. пособие. Львов, 1981.

Стаття надійшла до редколегії II.02.93

УДК 536.2

Н.П.Флейшман

МАТЕМАТИЧНІ МОДЕЛІ ТЕПЛОВОГО СПРЯЖЕННЯ
СЕРЕДОВИЩ ІЗ ТОНКИМИ ЧУХОРІДНИМИ ПРОШАРКАМИ
АБО ПОКРИТІЯМИ

Для визначення нестационарних полів температур у середовищах з клейовими з'єднаннями, в композитах з міжфазними прошарками під час теплопередачі через поверхневу плівку або під час охоложення рідини в тонкостінних посудинах тощо необхідно вивести відповідні умови спряження середовищ.

I. Узагальнені умови спряження /УС/. Розглянемо з'єднання двох просторових тіл "1" і "2" за допомогою тонкого ізотропного криволінійного чухорідного шару сталої товщини $2h$. Віднесемо цей шар оболонкового типу до змішаної триортогональної системи координат α, β, γ , де α, β - лінії кривизни серединної поверхні шару, вісь γ - направлена по нормалі до неї. Припустимо, що на поверхнях $\gamma = \pm h$, уздовж яких прошарок спрягається з

© Флейшман Н.П., 1993